Problème N°1:

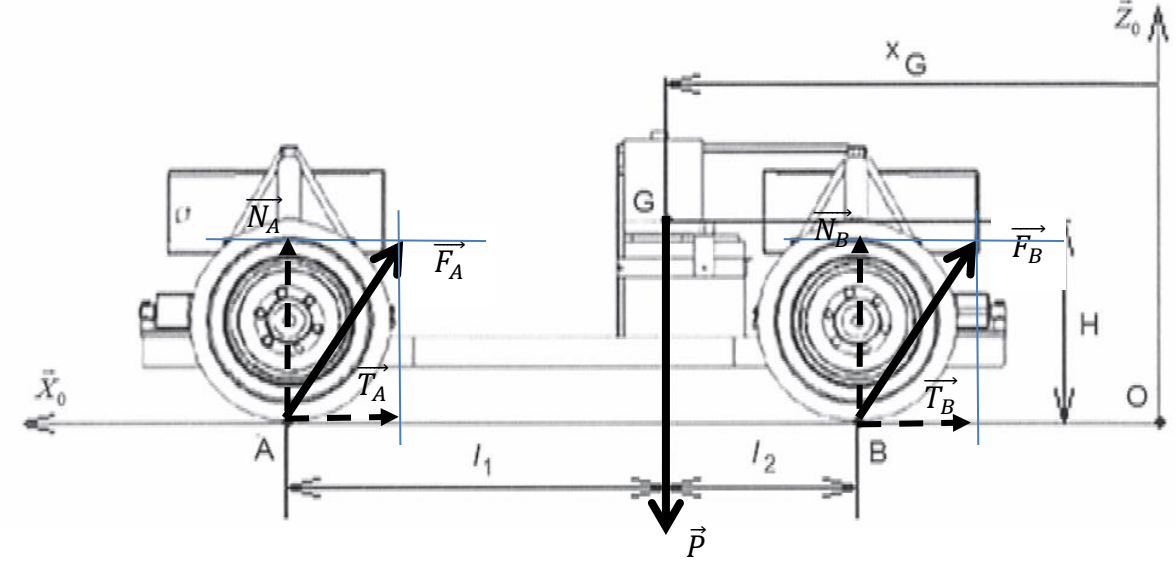
M

Etant donné l'hypothèse de roulement sans glissement : $V_{max} = R \times \omega_{rmax} = R \times \frac{N_{max}}{N} \times \frac{2\pi}{60}$ Q1. Application numérique :

$$V_{max} = 5.16 \text{ m} \cdot \text{s}^{-1} = 18.6 \text{ km} \cdot \text{h}^{-1}$$

 $V_{max} = 5.16 \text{ m} \cdot \text{s}^{-1} = 18.6 \text{ km} \cdot \text{h}^{-1}$ La vitesse à atteindre étant de 15 km · h⁻¹, la performance attendue est bien vérifiée

Q2. La voiture est en phase de freinage, les composantes tangentielles des actions mécaniques du sol sur les roues s'opposent donc à la vitesse de glissement potentielle du véhicule par rapport au sol. Outre les actions au niveau du contact des roues, le véhicule est soumis à son propre poids.



Le principe fondamental de la dynamique nous donne au niveau de la résultante : Q3.

$$M \cdot \overrightarrow{\Gamma(G/R)} = \overrightarrow{F_A} + \overrightarrow{F_B} + \overrightarrow{P}$$

En projection sur $\overrightarrow{x_0}$:

$$M\ddot{x_G} = T_A + T_B$$

Q4. En projection sur $\overrightarrow{z_0}$:

$$0 = N_A + N_B - Mg$$

 $\overrightarrow{\delta_A(S/R)} = \overrightarrow{\delta_G(S/R)} + \overrightarrow{AG} \wedge M \cdot \overrightarrow{\Gamma(G/R)} = \overrightarrow{0} + (-l_1 \cdot \overrightarrow{x_0} + H \cdot \overrightarrow{z_0}) \wedge M \overset{\rightarrow}{x_G} \cdot \overrightarrow{x_0} = HM \overset{\rightarrow}{x_G} \cdot \overrightarrow{y_0}$ **Q5**.

En appliquant le théorème du moment dynamique à la voiture en A, on obtient :

$$\begin{split} \overrightarrow{\delta_A(S/R)} &= \overrightarrow{\mathcal{M}_A P} + \overrightarrow{\mathcal{M}_A F_B} + \overrightarrow{\mathcal{M}_A F_A} \\ &= \overrightarrow{AG} \wedge \overrightarrow{P} + \overrightarrow{AB} \wedge \overrightarrow{F_B} + \overrightarrow{0} \\ &= (-l_1 \cdot \overrightarrow{x_0} + H \cdot \overrightarrow{z_0}) \wedge (-Mg \cdot \overrightarrow{z_0}) + (-(l_1 + l_2) \cdot \overrightarrow{x_0} + H \cdot \overrightarrow{z_0}) \wedge (N_B \cdot \overrightarrow{z_0} + T_B \cdot \overrightarrow{x_0}) \\ &= (-l_1 Mg + (l_1 + l_2)N_B) \cdot \overrightarrow{y_0} \end{split}$$

D'où:

$$HM\dot{x_G} = -l_1Mg + (l_1 + l_2)N_B$$

Et ainsi: **Q6.**

$$N_B = \frac{HM\dot{x}_G + l_1 Mg}{l_1 + l_2}$$

On en déduit :

$$N_A = Mg - N_B = \frac{l_2 Mg - HM\ddot{x_G}}{l_1 + l_2}$$

A la limite du glissement : $|T_A| = f|N_A|$ et $|T_B| = f|N_B|$ **Q7.**

 $\ddot{x_G} < 0$ étant donné qu'on est sur une phase de freinage et donc $T_A < 0$ et $T_B < 0$.

Lycée Claude Fauriel Page 1 sur 6 D'après les expressions trouvées à la question 7, $N_A > 0$. Afin de garder le contact au niveau de la roue B, N_B doit être positif aussi, ce qui nous donnerait une condition sur $\ddot{x_G}$:

$$\ddot{x_G} > -\frac{l_1 g}{H}$$

En considérant $N_B > 0$:

$$T_B = -f \cdot \frac{HM\ddot{x_G} + l_1Mg}{l_1 + l_2}$$

$$T_A = -f \cdot \frac{l_2Mg - HM\ddot{x_G}}{l_1 + l_2}$$

Q8. Le résultat de la question 3 nous impose :

$$M\ddot{x_G} = T_A + T_B$$

Donc:

$$\begin{split} M\ddot{x}_{Gmax} &= -f \cdot \frac{l_2 Mg - HM\ddot{x}_{Gmax}}{l_1 + l_2} - f \cdot \frac{HM\ddot{x}_{Gmax} + l_1 Mg}{l_1 + l_2} \\ M\ddot{x}_{Gmax} &= -\frac{f l_2 Mg}{l_1 + l_2} - \frac{f l_1 Mg}{l_1 + l_2} \\ \ddot{x}_{Gmax} &= -fg \end{split}$$

Cette valeur maximale est à comprendre comme étant la plus grande valeur d'accélération en valeur absolue.

Application numérique :

$$|\ddot{x}_{Gmax}| = fg = 1 \times 9.81 = 9.81 \,\mathrm{m} \cdot \mathrm{s}^{-2}$$

D'après le cahier des charges, le véhicule doit pouvoir subir une décélération sans glissement de 6 m \cdot s⁻², ce qui est vérifiée par la modélisation précédente.

Q9.

a. y2 correspond à la variable associée à la vitesse horizontale et y1 à la position du véhicule. Il s'agit donc de déterminer l'évolution de ces 2 variables jusqu'à l'arrêt du véhicule.

b. La résolution consiste à intégrer l'équation différentielle suivante à l'aide de la méthode d'Euler explicite.

$$\dot{x_G} = -\left(0.8 + 0.2 \cdot e^{-\frac{V}{VREF}}\right) \cdot g$$

On formule sous la forme d'un problème de Cauchy :

$$\begin{cases} \dot{V} = -\left(a + b \cdot e^{-\frac{V}{VREF}}\right) \cdot g \\ \dot{X} = V \end{cases}$$

L'écriture de la résolution par la méthode d'EULER nous donne :

$$\begin{cases} V_{k+1} = V_k + h * F_1(V_k, t_k) \\ X_{k+1} = X_k + h * F_2(X_k, t_k) \end{cases} avec \quad F_1(V_k, t_k) = -\left(a + b \cdot e^{-\frac{V_K}{VREF}}\right)g$$

$$F_2(X_k, t_k) = V_k$$

Ainsi:

c.

Lycée Claude Fauriel Page 2 sur 6

Q10.

$$\overrightarrow{V(O_1 \in S/0)} = \overrightarrow{V(C \in S/0)} + \overrightarrow{O_1C} \wedge \overrightarrow{\Omega S/0}$$

$$= \overrightarrow{0} + \left(-a \cdot \overrightarrow{x} + \left(\rho - \frac{d}{2}\right) \cdot \overrightarrow{y}\right) \wedge \overrightarrow{\psi} \cdot \overrightarrow{z_0}$$

$$= a \overrightarrow{\psi} \cdot \overrightarrow{y} + \left(\rho - \frac{d}{2}\right) \overrightarrow{\psi} \cdot \overrightarrow{x}$$

De même:

$$\overrightarrow{V(O_2 \in S/0)} = \alpha \dot{\psi} \cdot \vec{y} + \left(\rho + \frac{d}{2}\right) \dot{\psi} \cdot \vec{x}$$

Q11.

$$\overrightarrow{V(O_1 \in Roue_1/0)} = \overrightarrow{V(J_1 \in Roue_1/0)} + \overrightarrow{O_1J_1} \wedge \overrightarrow{\Omega Roue_1/0}$$

$$\overrightarrow{\Omega Roue_1/0} = \overrightarrow{\Omega Roue_1/S} + \overrightarrow{\Omega S/0}$$

D'où:

$$\overrightarrow{V(O_1 \in Roue_1/0)} = \overrightarrow{0} + \left(-R \cdot \overrightarrow{z_0} \wedge \dot{\theta}_1 \cdot \overrightarrow{y_1}\right)$$
$$= R\dot{\theta}_1 \cdot \overrightarrow{x_1}$$

De même:

$$\overrightarrow{V(O_2 \in Roue_2/0)} = R\dot{\theta_2} \cdot \overrightarrow{x_2}$$

Q12.

$$\overrightarrow{V(O_1 \in Roue_1/0)} = \overrightarrow{V(O_1 \in Roue_1/S)} + \overrightarrow{V(O_1 \in S/0)}$$

$$R\dot{\theta_1} \cdot \overrightarrow{x_1} = \overrightarrow{0} + a\dot{\psi} \cdot \vec{y} + \left(\rho - \frac{d}{2}\right)\dot{\psi} \cdot \vec{x}$$

En projetant suivant \vec{x} et \vec{y} :

$$R\dot{\theta}_1 \cos \delta_1 = \left(\rho - \frac{d}{2}\right)\dot{\psi}$$

$$R\dot{\theta}_1 \sin \delta_1 = a\dot{\psi}$$

Q13. De même qu'à la question 12 :

$$R\dot{\theta_2}\cos\delta_2 = \left(\rho + \frac{d}{2}\right)\dot{\psi}$$

$$R\dot{\theta_2}\sin\delta_2 = a\dot{\psi}$$

Q14. On en déduit :

$$\tan \delta_1 = \frac{a}{\rho - \frac{d}{2}}$$

$$\tan \delta_2 = \frac{a}{\rho + \frac{d}{2}}$$

Application numérique :

$$\tan \delta_1 = 0.148 \Rightarrow \delta_1 = 8.4^{\circ}$$

 $\tan \delta_2 = 0.116 \Rightarrow \delta_2 = 6.6^{\circ}$

Q15.

$$\dot{\theta_2} = \left(\rho + \frac{d}{2}\right) \cdot \frac{\psi}{R}$$

$$\dot{\theta_1} = \left(\rho - \frac{d}{2}\right) \cdot \frac{\dot{\psi}}{R}$$

Q16.

$$A = \dot{\psi}_c = \frac{V}{\rho}$$

Lycée Claude Fauriel

$$B = \ddot{\psi}_0 \cdot \frac{(t_1 - t_0)^2}{2} + \dot{\psi}_c \cdot (t - t_1)$$
$$C = \dot{\psi}_c - \ddot{\psi}_0 \cdot (t - t_2)$$

On obtient D en intégrant C :

$$D = \dot{\psi}_c \cdot t - \ddot{\psi}_0 \cdot \frac{(t - t_2)^2}{2} + Cte$$

Il faut calculer la constante :

 $D(t = t_2) = \dot{\psi}_c \cdot t_2 + Cte = B(t = t_2) = \ddot{\psi}_0 \cdot \frac{(t_1 - t_0)^2}{2} + \dot{\psi}_c \cdot (t_2 - t_1)$

D'où:

$$Cte = \ddot{\psi}_0 \cdot \frac{(t_1 - t_0)^2}{2} - \dot{\psi}_c \cdot t_1$$

$$D = \dot{\psi}_c \cdot (t - t_1) + \ddot{\psi}_0 \cdot \left(\frac{(t_1 - t_0)^2}{2} - \frac{(t - t_2)^2}{2}\right)$$

Q17.

$$\psi_{TOT} = D(t = t_3) = \dot{\psi}_c \cdot (t_3 - t_1)$$

$$= \dot{\psi}_c \cdot (t_3 - t_2 + t_2 - t_1)$$

$$= \dot{\psi}_c \cdot (t_2 - t_1) + \dot{\psi}_c \cdot (t_3 - t_2)$$

$$= \dot{\psi}_c \cdot (t_2 - t_1) + \frac{\dot{\psi}_c^2}{\ddot{\psi}_0}$$

Q18.

$$t_2 - t_1 = \frac{1}{\dot{\psi}_c} \left(\psi_{TOT} - \frac{V^2}{\rho^2} \cdot \frac{1}{\ddot{\psi}_0} \right)$$
 Application numérique : $t_2 - t_1 = 1,38$ s

Q19.

$$t_3 - t_0 = 2 \times (t_1 - t_0) + t_2 - t_1 = 2 \times \frac{V}{\rho} + t_2 - t_1$$

Application numérique : $t_3 - t_0 = 2,25$ s

Q20.

$$t_1 = \frac{V}{\rho} \cdot \frac{1}{\ddot{\psi}_0}$$
 Application numérique : $t_1 = 0.43$ s

$$t_2 = t_2 - t_1 + t_1$$
 Application numérique : $t_2 = 1.82$ s

D'après la question 20 : $t_3 = 2,25$ s

$$\psi(t_1) = \ddot{\psi}_0 \cdot \frac{(t_1 - t_0)^2}{2}$$
 Application numérique : $\psi(t_1) = 0.094$ rd = 5.4 °

$$\psi(t_2) = \psi(t_1) + \dot{\psi}_c \cdot (t_2 - t_1) = \psi(t_1) + \frac{v}{\rho} \cdot (t_2 - t_1)$$
Application numérique : $\psi(t_2) = 0.69 \text{ rd} = 39.7^\circ$

 $t_3 < 3$ s, le cahier des charges est bien validé.

Q21.

$$J_m \dot{\theta_m} = C_m - \frac{c_{re}}{N} - f_m \dot{\theta_m} \quad \Rightarrow J_m \dot{\theta_m} = C_m - \frac{K(\theta_{re} - \theta_r)}{N} - f_m \dot{\theta_m} \Rightarrow J_m \dot{\theta_m} = C_m - f_m \dot{\theta_m} - \frac{K}{N} \left(\frac{\theta_m}{N} - \theta_r \right)$$
 D'où :
$$\alpha = f_m \ et \ \beta = K$$

$$J_r\ddot{\theta_r} = -C_p + C_{re} - f_r\dot{\theta_r} \Rightarrow J_r\ddot{\theta_r} = -C_p - f_r\dot{\theta_r} + K\left(\frac{\theta_m}{N} - \theta_r\right)$$
 Et donc : $\gamma = f_r$

Lycée Claude Fauriel Page 4 sur 6 Q22.

$$H_1(p) = \frac{I_m(p)}{E_m(p)} = \frac{1}{R_e + Lp} \qquad H_2(p) = \frac{\Omega_m(p)}{C_m(p) - \frac{1}{N}C_{re}(p)} = \frac{1}{\alpha + J_m p}$$

$$C_{re}(p) = K(\theta_{re}(p) - \theta_{r}(p)) \Leftrightarrow C_{re}(p) = \frac{K}{p} \cdot (\Omega_{re}(p) - \Omega_{r}(p))$$

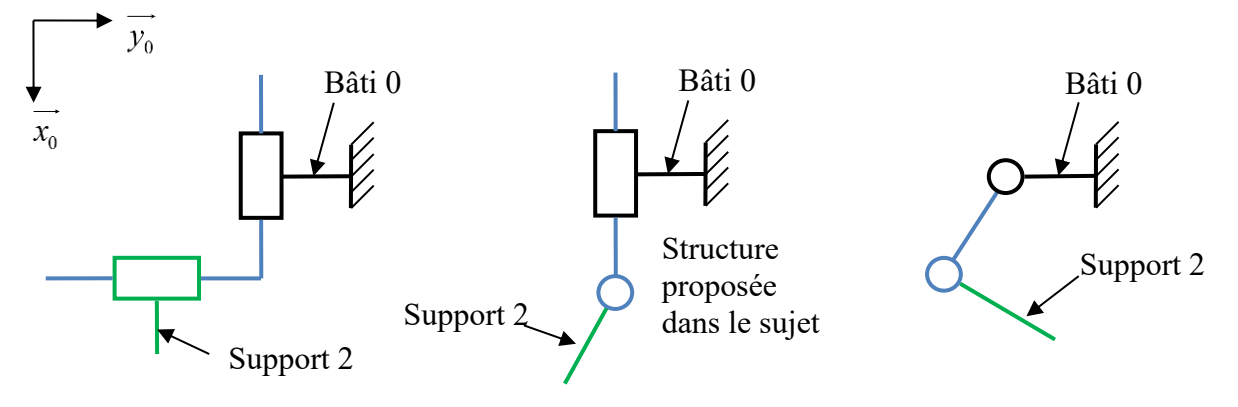
$$H_{3}(p) = \frac{C_{re}(p)}{K(\Omega_{re}(p) - \Omega_{r}(p))} = \frac{1}{p} \qquad H_{4}(p) = \frac{\Omega_{r}(p)}{C_{re}(p) + C_{p}(p)} = \frac{1}{\gamma + J_{r}p}$$

D'où:

Problème N°2:

Q1: Le bras motorisé doit pouvoir déplacer la pince dans des plans horizontaux $(\vec{x_0}, \vec{y_0})$ et effectuer une translation suivant une direction verticale $\vec{z_0}$.

Pour le déplacement dans un plan horizontal, on propose les trois structures suivantes :



Q2:

Liaison	Bâti 0 / Coulisseau 1	Coulisseau 1 / Support 2	Support 2 / Ensemble 3
Modèle de liaison proposé	Glissière	Pivot	Glissière
Caractéristiques cinématiques	Direction $\overrightarrow{x_0}$	Axe $(G_2, \overrightarrow{z_0})$	Direction $\overrightarrow{z_0}$
Forme torseur cinématique	$\begin{pmatrix} 0 & v_x \\ 0 & 0 \\ 0 & 0 \end{pmatrix}_{\forall M, B_0}$	$ \left\{ \begin{array}{cc} 0 & 0 \\ 0 & 0 \\ \omega_z & 0 \end{array} \right\}_{G_2,B_0} $	$\begin{pmatrix} 0 & 0 \\ 0 & 0 \\ 0 & v_z \end{pmatrix}_{\forall M,B_0}$
Forme torseur d'action mécanique	$ \begin{pmatrix} 0 & L \\ Y & M \\ Z & N \end{pmatrix}_{\forall M, B_0} $	$ \begin{pmatrix} X & L \\ Y & M \\ Z & 0 \end{pmatrix}_{G_2, B_0} $	$ \begin{pmatrix} X & L \\ Y & M \\ 0 & N \end{pmatrix}_{\forall M, B_0} $

Q3:

Effort	Ensemble isolé	Théorème utilisé	Justification choix d'isolement et de théorème
F _{M1}	1+2+3	Résultante dynamique suivant $\overrightarrow{x_0}$	La force recherchée F_{M1} est portée par $\overrightarrow{x_0}$ et la composante de la résultante transmissible par la liaison $1/0$ est nulle suivant cette direction.
C _{M2}	2+3	Moment résultant dynamique suivant $\overrightarrow{z_0}$, en G_2 .	Le couple recherchée C_{M2} est portée par $\overrightarrow{z_0}$ et la composante du moment transmissible par la liaison $2/1$ est nulle suivant cette direction en G_2 .
F _{M3}	3	Résultante dynamique suivant $\overrightarrow{z_0}$	La force recherchée F _{M3} est portée par $\overrightarrow{z_0}$ et la composante de la résultante transmissible par la liaison 3/2 est nulle suivant cette direction.

Lycée Claude Fauriel Page 5 sur 6

Q4:
$$\overline{I}_{(G_3,3)} = \overline{I}_{(G_3,tige)} + \overline{I}_{(G_3,masse)}$$
 or $\overline{I}_{(G_3,tige)} = \begin{bmatrix} 0 & 0 & 0 \\ 0 & m\frac{\lambda^2}{12} & 0 \\ 0 & 0 & m\frac{\lambda^2}{12} \end{bmatrix}_{B_3}$ en utilisant l'annexe

$$\overline{I}_{(G_3,masse)} = \overline{I}_{(C_3,masse)} + m_p \begin{bmatrix} 0 & 0 & 0 \\ 0 & \frac{\lambda^2}{4} & 0 \\ 0 & 0 & \frac{\lambda^2}{4} \end{bmatrix}_{B_3} = \begin{bmatrix} 0 & 0 & 0 \\ 0 & 0 & 0 \\ 0 & 0 & 0 \end{bmatrix}_{B_3} + m_p \begin{bmatrix} 0 & 0 & 0 \\ 0 & \frac{\lambda^2}{4} & 0 \\ 0 & 0 & \frac{\lambda^2}{4} \end{bmatrix}_{B_3} \text{ (huygens)}$$

$$\mathrm{D} \cdot \circ \dot{\mathrm{u}} : \overline{I}_{(G_3,3)} = \begin{bmatrix} 0 & 0 & 0 \\ 0 & m \frac{\lambda^2}{12} + m_p \frac{\lambda^2}{4} & 0 \\ 0 & 0 & m \frac{\lambda^2}{12} + m_p \frac{\lambda^2}{4} \end{bmatrix}_{B_2}$$

Q5: On isole l'ensemble 2+3 soumis à :

l'action de la pesanteur

$$\left\{\tau_{\textit{pes}\to 2}\right\} = \begin{cases} -m_2 g \vec{z}_0 \\ \vec{0} \end{cases} \text{ et } \left\{\tau_{\textit{pes}\to 3}\right\} = \begin{cases} -m_3 g \vec{z}_0 \\ \vec{0} \end{cases}$$

l'action des frottements visqueux

$$\left\{\tau_{fv\to 2}\right\} = \begin{cases} \vec{0} \\ -f_2\dot{\theta}\vec{z}_0 \end{cases}$$

l'action de 1 sur 2 :

$$\left\{\tau_{1\rightarrow2}\right\} = \left\{\begin{matrix} X_{1\rightarrow2}\overrightarrow{x_0} + Y_{1\rightarrow2}\overrightarrow{y_0} + Z_{1\rightarrow2}\overrightarrow{z_0} \\ \overrightarrow{L_{1\rightarrow2}}\overrightarrow{x_0} + M_{1\rightarrow2}\overrightarrow{y_0} \end{matrix}\right\}.$$

l'action de la motorisation M₂

$$\left\{\tau_{M_2 \to 2}\right\} = \begin{bmatrix} \vec{0} \\ C_{M_2} \vec{z}_0 \end{bmatrix}$$

Q6 : théorème du moment résultant dynamique suivant $\overrightarrow{z_0}$, en G_2 : $\overrightarrow{\delta_{(G_2,2+3/0)}}$. $\overrightarrow{z_0} = \overrightarrow{M_{G_2,\overline{2+3} \to 2+3}}$. $\overrightarrow{z_0}$.

$$\overrightarrow{\sigma_{(G_2,2/0)}}.\overrightarrow{z_0} = \overrightarrow{z_0}.\overrightarrow{I_{(G_2,2)}}(\overrightarrow{\Omega_{(2/0)}}) = J_2\dot{\theta} \text{ et donc } \overrightarrow{\delta_{(G_2,2/0)}}.\overrightarrow{z_0} = \left[\frac{d(\overrightarrow{\sigma_{(G_2,2/0)}}.\overrightarrow{z_0})}{dt}\right]_0 - \overrightarrow{\sigma_{(G_2,2/0)}}.\left[\frac{d\overrightarrow{z_0}}{dt}\right]_0 = J_2\ddot{\theta}.$$

$$\overrightarrow{\sigma_{(G_3,3/0)}}.\overrightarrow{z_0} = \overrightarrow{z_0}.\overrightarrow{I}_{(G_3,3)}\big(\overrightarrow{\Omega_{(3/0)}}\big) = J_3\dot{\theta} \text{ ce qui donne } \overrightarrow{\delta_{(G_3,3/0)}}.\overrightarrow{z_0} = \left[\frac{d(\overrightarrow{\sigma_{(G_3,3/0)}}.\overrightarrow{z_0})}{dt}\right]_0 - \overrightarrow{\sigma_{(G_3,3/0)}}.\left[\frac{d\overrightarrow{z_0}}{dt}\right]_0 = J_3\ddot{\theta}.$$

$$\overrightarrow{V_{(G_3,3/0)}} = \left[\frac{d \overrightarrow{OG_3}}{dt}\right]_0 = \left[\frac{d(x(t)\overrightarrow{x_0} - (d_1 + z(t))\overrightarrow{z_0} + (\frac{\lambda}{2})\overrightarrow{x_3})}{dt}\right]_0 = \dot{x}\overrightarrow{x_0} - \dot{z}\overrightarrow{z_0} + (\frac{\lambda}{2})\dot{\theta}\overrightarrow{y_3}$$

$$\overrightarrow{a_{(G_3,3/0)}} = \left[\frac{d \overrightarrow{V_{(G_3,3/0)}}}{dt} \right]_0 = \left[\frac{d (\dot{x} \overrightarrow{x_0} - \dot{z} \overrightarrow{z_0} + (\frac{\lambda}{2}) \dot{\theta} \overrightarrow{y_3})}{dt} \right]_0 = \ddot{x} \overrightarrow{x_0} - \ddot{z} \overrightarrow{z_0} + (\frac{\lambda}{2}) \ddot{\theta} \overrightarrow{y_3} - (\frac{\lambda}{2}) \dot{\theta}^2 \overrightarrow{x_3}$$

$$\overrightarrow{\delta_{(G_2,3/0)}} = \overrightarrow{\delta_{(G_3,3/0)}} + m_3 \overrightarrow{G_2G_3} \wedge \overrightarrow{a_{(G_3,3/0)}} = J_3 \ddot{\theta} \overrightarrow{z_0} + m_3 (-z \overrightarrow{z_0} + (\frac{\lambda}{2}) \overrightarrow{x_3}) \wedge (\ddot{x} \overrightarrow{x_0} - \ddot{z} \overrightarrow{z_0} + (\frac{\lambda}{2}) \ddot{\theta} \overrightarrow{y_3} - (\frac{\lambda}{2}) \dot{\theta}^2 \overrightarrow{x_3})$$

$$\overrightarrow{\delta_{(G_2,3/0)}}.\overrightarrow{z_0} = J_3 \ddot{\theta} + \left(m_3(\frac{\lambda}{2})(\overrightarrow{x_3} \wedge (\ddot{x} \overrightarrow{x_0} + (\frac{\lambda}{2}) \ddot{\theta} \overrightarrow{y_3})\right).\overrightarrow{z_0} = \left[J_3 + m_3(\frac{\lambda}{2})^2\right] \ddot{\theta} - m_3(\frac{\lambda}{2}) \ddot{x} \sin \theta$$

$$\overrightarrow{M_{G_2,\overline{2+3} \to 2+3}}.\overrightarrow{z_0} = C_{M_2} - f_2 \dot{\theta}.$$

On en déduit donc $C_{M2} - f_2 \dot{\theta} = \left[J_3 + J_2 + m_3 \left(\frac{\lambda}{2}\right)^2 \right] \ddot{\theta} - m_3 \left(\frac{\lambda}{2}\right) \ddot{x} \sin \theta$

$$C_{M2} = \left[J_3 + J_2 + m_3 \left(\frac{\lambda}{2}\right)^2 \right] \ddot{\theta} - m_3 \left(\frac{\lambda}{2}\right) \ddot{x} \sin \theta + f_2 \dot{\theta}$$
 (E₂).

Q7 : Par identification : $A = \left[J_3 + J_2 + m_3(\frac{\lambda}{2})^2\right]$; $B = f_2$; $C = -m_3(\frac{\lambda}{2})\sin\theta$.

Q8 : Les mouvements des axes 1 et 2 sont couplés car les équations différentielles (E_1) et $(E_2$:celle à trouver) comportent toutes les deux des termes en x, θ et leurs dérivées.

Lycée Claude Fauriel Page 6 sur 6